Tom 138 1965

ВЛИЯНИЕ ТОЛШИНЫ ПРЕОБРАЗУЮЩЕГО ЭКРАНА НА плотность почернения и размытие изображения ПРИ ФОТОГРАФИЧЕСКОМ МЕТОДЕ РЕГИСТРАЦИИ НЕЙТРОНОВ

В. И. ГОРБУНОВ, Г. Ш. ПЕКАРСКИЙ

(Представлено научным семинаром НИИ ЭИ)

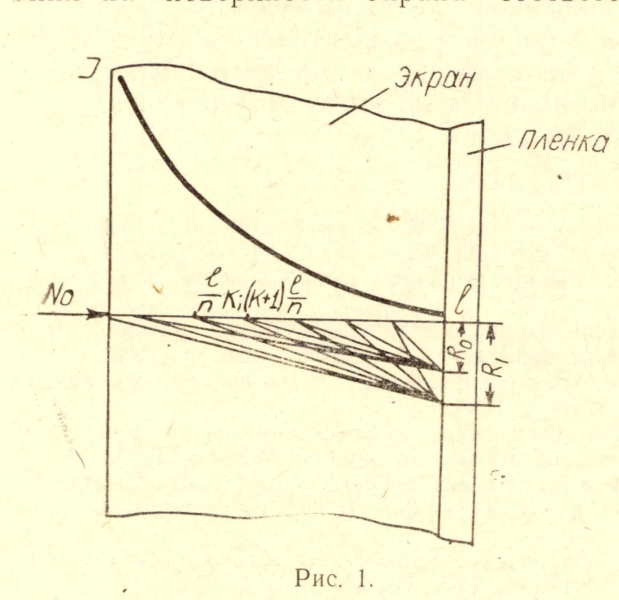
В работе предложена методика расчета оптимальной толщины преобразующего экрана и проведен расчет для экрана из кадмия.

Целью данной работы является исследование влияния толщины преобразующего экрана на плотность почернения и размытие изображения при фотографическом методе регистрации нейтронов.

В качестве материала для преобразующего экрана был выбран кадмий, имеющий большое сечение взаимодействия с тепловыми нейтронами:

 $Cd^{113}(n,\gamma) Cd^{114}$.

При точечной коллимации нейтронного потока № точке его падения на поверхности экрана соответствует излучающая нить, актив-



ность которой спадает с толщиной по экспоненте. Под действием вторичного ү-излучения на пленке образуется изображение, плотность почернения которого спадает от геометрического центра и связана с толщиной преобразующего экрана.

Как и в рентгеновской радиографии [1], за точечное изображение нами была принята область радиуса $R_0 = 0.03$ мм.

Для расчетов преобразующий экран разбивался по толщине на п участков, и затем оценивался вклад, который

вносит каждый

в плотность почернения и величину размытия изображения (рис. 1). Формула для вычисления плотности почернения точечной области была получена из следующих соображений: вероятность попадания одного кванта из участка в область радиуса R_0 может быть записана

$$\omega_{\kappa} = \frac{1}{2} \cdot \left(1 - \cos \operatorname{arctg} \frac{R_0}{l - \kappa} \right),$$

а число квантов на участке $\left(\frac{l}{n}\right)_{\mathcal{K}}$ может быть определено как $N_{\kappa} = N_0 \cdot \int\limits_{\kappa} e^{-\mu x} \, dx;$

$$N_{\kappa} = N_0 \cdot \int_{\kappa} e^{-\mu x} dx;$$

$$\kappa = 0, \quad \frac{1}{n}, \quad \frac{1}{n} \cdot 2, \dots, \frac{1}{n} \cdot (n-1).$$
(1a)

Суммирование по всем участкам определяет число квантов, попавших в область радиуса R_0

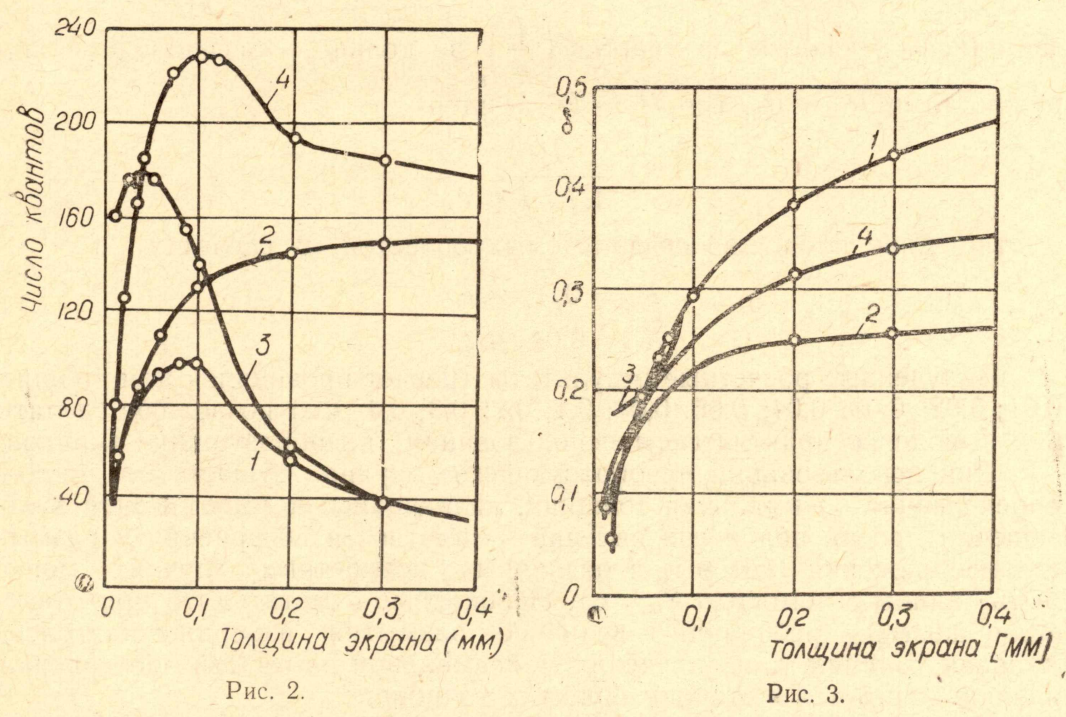
$$A_0 = \frac{N_0}{2} \cdot \sum_{n=0}^{\infty} \left(1 - \cos \arctan \frac{R_0}{l - \kappa}\right) \cdot \int_{\kappa}^{\kappa + \frac{l}{n}} e^{-\mu x} \cdot dx, \tag{1}$$

тде

 N_0 — число падающих нейтронов, μ — линейный коэффициент поглощения нейтронов кадмием,

 $R_0 = 0.03 \text{ MM}.$

Основные допущения в данном методе расчета состоят в том, что угловое распределение ү-квантов принимается изотропным (согласно теории ядерных реакций через составное ядро) и поглощение этого излучения в материале экрана пренебрежительно мало (для l=0,4 мм



потери составляют 0,3%). По данной методике нами были проделаны расчеты плотности почернения для четырех возможных способов использования преобразующих экранов. Результаты этих расчетов представлены на рис. 2. На нем фронтальному расположению экрана соответствует кривая 1; фронтальное расположение пленки представлено кривой 2; кривая 3 соответствует «сэндвичу» из двух экранов и пленки, причем варьировалась толщина переднего экрана, а толщина заднего была выбрана оптимальной (по кривой 2); и, наконец, кривая 4 соответствует «сэндвичу» из двух пленок и одного экрана. Для того, чтобы охарактеризовать величину размытия изображения, нами было введено понятие «относительного почернения», под которым мы понимаем отношение плотности почернения области, ограниченной радиусами R_1 и R_0 , к плотности почернения точечной области. На рис. 3 представлена зависимость относительного почернения от толщины экрана для всех четырех вышеперечисленных случаев.

Расчет проводился по формуле

$$\delta = \frac{\sum_{0}^{\frac{l}{n} \cdot (n-1)} \left(\cos \arctan \frac{R_{1}}{l-\kappa} - \cos \arctan \frac{R_{0}}{l-\kappa}\right) \cdot \int_{\kappa}^{\kappa+\frac{l}{n}} e^{-\mu x} \cdot dx}{\sum_{0}^{\frac{l}{n} \cdot (n-1)} \left(1 - \cos \arctan \frac{R_{0}}{l-\kappa}\right) \cdot \int_{\kappa}^{\kappa+\frac{l}{n}} e^{-\mu x} \cdot dx} \times \frac{R_{0}^{2}}{R_{1}^{2} - R_{0}^{2}},$$
(2)

где 8 — относительное почернение;

$$A_{1} = \frac{N_{0}}{2} \cdot \sum_{n=0}^{l} \left(\cos \arctan \operatorname{tg} \frac{R_{1}}{l - \kappa} - \operatorname{cos} \operatorname{arc} \operatorname{tg} \frac{R_{0}}{l - \kappa} \right) \cdot \int_{\kappa}^{\kappa + \frac{l}{n}} e^{-\nu x} \cdot dx$$

дает число γ -квантов из участка $\left(\frac{l}{n}\right)_{\kappa}$ в кольцо, ограниченное окружностями R_1 и R_0 , где $R_1 > R_0$, а член

$$\frac{R_0^2}{R_1^2 - R_0^2}$$

— отношение площадей сравниваемых областей. В расчетах

$$R_0 = 0.03 \text{ mm},$$

 $R_1 = 0.04 \text{ mm}.$

Полученные расчетные результаты (расчет проводился для толщин 0,01; 0,02; 0,03; 0,04; 0,06; 0,08; 0,1; 0,2; 0,3; 0,4 мм) позволяют сделать ряд выводов о практическом использовании преобразующих экранов.

При использовании преобразующего экрана существует вполне определенная оптимальная толщина, являющаяся компромиссной в отношении противоположных явлений — плотности почернения и размытия изображения (которые в различных конкретных случаях могут быть заданы с помощью R_0 и σ). Необходимо отметить, что при отсутствии жестких требований к величине размытия изображения оптимальная толщина для получения максимальной плотности почернения пленки сдвигается в сторону больших толщин.

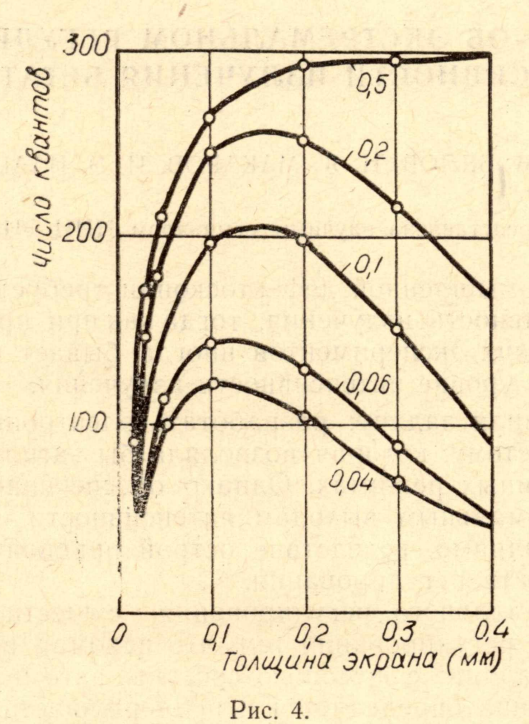
При $R_0 \to \infty$ (при регистрации потока нейтронов) кривая имеет насыщающийся характер. Однако с некоторой толщины наблюдается спад в ходе кривой, обусловленный ростом эффекта самопоглощения

ү-излучения.

Рис. 4 иллюстрирует эту трансформацию кривой (цифры у кривых

означают величину принятой точечной области R_0).

В сравнении с фронтальным задний экран является более предпочтительным как с точки зрения величины плотности почернения (повышается в 1,4 раза), так и с точки зрения величины размытия (на 16% меньше), однако, кривая при этом имеет насыщающийся характер. Использование «сэндвича» из двух экранов и пленки позволят еще больше повысить плотность почернения (1,9 раза) и уменьшить величину размытия (на 23%). «Сэндвич» из двух пленок и одного экрана дает плотность почернения в 2,4 раза больше, при этом относительное почернение остается прежним.



В работе [2] приведены экспериментальные данные, которые лишь качественно подтверждают наши выводы о влиянии толщины экрана на плотность почернения и размытие изображения, но не позволяют дать количественной оценки этого влияния.

Вопрос об использовании «сэндвича» из двух пленок и одного экрана в нейтронографии до настоящего времени в литературе не освещался. Однако именно этот метод, как показывают наши расчеты, является наиболее эффективным при фотографическом методе регистрации нейтронов.

Приведенная методика расчета позволяет проводить выбор оптимальной толщины экрана в зависимости от конкретных условий работы и основных требований, предъявляемых к качеству изображения.

ЛИТЕРАТУРА

1. Промышленная радиография под редакцией У. Дж. Уайлтшайра.

2. H. Berger; I. Appl. Phys. 33 № 1, 48-55, 1962.